

Р.Я. Михайльонка, Г. Кьольпін

Будова, структура, зв'язок та фазовий перехід легованих азотом тонких плівок $\text{Ge}_2\text{Sb}_2\text{Te}_5$

*Кафедра хімії матеріалів, Рейн-Вестфальський технічний університет Аахена,
вул. Коперника 16, D-52074 м.Аахен, Німеччина, E-mail: mix_ruslan@mail.ru*

В роботі на основі експериментальних даних та теоретичних розрахунків було встановлено, що плівки $\text{Ge}_2\text{Sb}_2\text{Te}_5$, леговані азотом (далі NGST) дуже швидко окислюються на повітрі. Зростання вмісту азоту у сполуці NGST призводить до підвищення температури кристалізації і збільшення часу до початку кристалізації, а також до порушення близького порядку у аморфних плівках і до подрібнення зерен у кристалічних плівках, яке не залежить від тривалості відпалу. Плівки NGST є енергетично нестійкими, а атоми азоту у кубічній ґратці GST можуть заміщати атоми Te між Ge і Te або вкорінюватися в октаедричні порожнини між Ge і Te.

Ключові слова: тонкі плівки, $\text{Ge}_2\text{Sb}_2\text{Te}_5$, азот, легування, структура, фазовий перехід, фазозмінні матеріали, оптичні диски, DVD.

Стаття поступила до редакції 07.12.2007; прийнята до друку 15.09.2008.

Вступ

Германій-антимон-телур ($\text{Ge}_2\text{Sb}_2\text{Te}_5$), також відомий як GST або 225, являється зміннофазним матеріалом і належить до групи халькогенідних стекло, які на даний час активно використовуються в перепереписуючих оптичних дисках і пристроях пам'яті, що працюють на основі зміни фази. Це потрібна сполука на основі германію, антимону і телуру, з композиційним складом $\text{GeTe-Sb}_2\text{Te}_3$ [1-5]. Час її перекристалізації (рекристалізації) складає до 20 наносекунд. Швидкість запису інформації становить до 35 МБіт/с, а пряма перезаписуюча здатність – до 10^6 циклів. Це відповідає формату запису типу земля-канавка. Цей формат часто використовується в перепереписуючих DVD.

Для нових зміннофазних матеріалів можливе використання GeSbTe , легованого азотом. Точка плавлення такого сплаву повинна бути приблизно $600\text{ }^\circ\text{C}$ (900 K), а температура кристалізації – $400\text{ }^\circ\text{C}$.

Леговані азотом GeSbTe (далі NGST) елементи пам'яті показують низький струм відновлення фази і підвищену зносостійкість [6]. Йонг та ін. у своїй роботі показали, що включення азоту в GST призводить до фазового переходу з аморфної до гексагональної структури, без формування проміжної метастабільної кубічної ґратки, як у GST [7]. Спробуємо пояснити в даній роботі, яке місце займає азот в кристалічній структурі GST і як впливає його кількість на цю структуру.

I. Методика експерименту

Аморфні GST і NGST виготовлялися при кімнатних температурах методом реактивного іонного розпилення в плазмі. Вміст азоту в сполуці регулювали співвідношенням газів N_2/Ar , чистота яких 99,9999% і 99,999% відповідно. Для дослідження було виготовлено 7 зразків з різною концентрацією азоту в атмосфері аргону (0%, 3%; 5%; 10%; 20%; 50%; 100%). Були отримані зразки з концентрацією азоту до 41,3% у сполуці. В якості мішені використовували $\text{Ge}_2\text{Sb}_2\text{Te}_5$ діаметром 50 мм і чистотою 99,9%. Базовий і робочий тиск в камері становили $8 \cdot 10^{-5}$ і 0,7 Па відповідно.

Зразки для дослідження мали вигляд, який схематично зображено на рис. 1. На підкладку Si(100) наносили тонкий шар 50 нм оксиду алюмінію, потім аморфні GST і NGST, а зверху покривали плівкою оксиду алюмінію товщиною 250 нм, яка служить захисним шаром. Оксид алюмінію (Al_2O_3) виготовляли на цій же установці методом реактивного іонного розпилення в плазмі в атмосфері кисню (99,9999%) і аргону, взятих у співвідношенні 3,4/26,7 при парціальному тиску газів 0,36 Па, з алюмінієвої мішені діаметром 90 мм і 99,999% чистоти. Робочий тиск у камері становив 1,0 Па. Відпал зразків проводили в Інституті напівпровідників (IH) РВТУ Аахена до досягнення кубічної кристалічної фази. Тут же проводилися вимірювання по визначенню часу переходу з аморфної в кристалічну фазу.

Хімічний склад плівок було підтверджено за допомогою електронно-зондового мікроаналізатора CAMEBAX SX 50 на основі спектрів хвильового розсіювання рентгенівського випромінювання (WDX – wavelength dispersive X-ray spectroscopy) в Інституті електронної мікроскопії (IEM) РВТУ Аахена. А також за допомогою X-променевого аналізатора на основі методу енергетичної дисперсії EDX (з англійської energy dispersive X-ray analyzer) на установці SEM (Scanning Electron Microscope), марки JEOL JSM-6480. Дослідження кристалічної структури було проведено на рентгенівській установці D8 Discover з площинним детектором GADDS (General Area Detector Diffraction System). Напруга рентгенівського променя ($\text{Cu } K\alpha$, $\lambda=1.54184 \text{ \AA}$) становила 40 кВ, а струм 40 мА, вимірювання проводили протягом 2 хв.

В роботі було використано метод розрахунку, який ґрунтується на теорії оператора густини [8], використовуючи VASP коди (Vienna Ab-initio Simulation Package) з використанням наближень локальної густини та узагальненого градієнта. Розрахунок повної енергії проводився за допомогою метода тетраедра з виправленнями Блюхла [9]. Часткова густина станів була розрахована для структур рівноважного стану.

II. Результати експерименту та їх обговорення

Виготовлені для дослідження аморфні зразки NGST з різним вмістом азоту (до 41,3% N у сполуці) необхідно покривати захисним аморфним шаром перед відпалом, як це показано на рис. 1. Для цього є

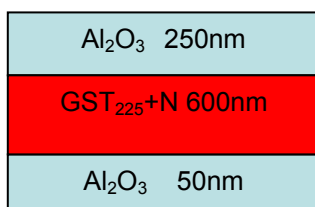


Рис. 1. Схематичний вигляд зразків для дослідження у розрізі.

дві причини, перша: азот в аморфних GST є легколетучим елементом. Тому на повітрі відбувається швидке окислення аморфних плівок NGST, бо азот швидко випаровується з плівки, а його місце займає кисень. І тому будь-яке дослідження аморфних NGST без захисного шару (далі ЗШ) провести дуже складно. І другою причиною є те, що під час відпалу втрачається Te і Sb в сполуці, тобто вони випаровуються. Для ЗШ було вибрано аморфні плівки Al_2O_3 .

Хімічний склад аморфних GST і NGST плівок визначався за допомогою методів WDX і EDX. Результати представлено в таблиці 1. На таблиці 1 представлено 3 різні аморфні плівки на основі GST. Тут можна побачити, що в плівках NGST без ЗШ, напильних в 100% атмосфері азоту, протягом

незначного часу, спостерігається швидке окислення і втрата азоту у сполуці відносно плівок NGST з ЗШ. Можна сказати, що кисень заміщає втрачений азот. Незначне ж окислення спостерігається для плівок GST₂₂₅ та NGST з ЗШ (100% N).

Таблиця 1
Визначення хімічного складу (до відпалу)

Методи		GST ₂₂₅	NGST без ЗШ (100% N)	NGST з ЗШ (100% N)
WDX	Ge, at. %	19,4	21,9	23,6
	Sb, at. %	23,7	26,0	25,6
	Te, at. %	59,6	52,1	50,8
	N, at. %	<1	14,7	41,3
	O, at. %	1-2	35,2	1-2
EDX		незначне окислення	швидке окислення	незначне окислення

NGST аморфні плівки відпальовалися у повітряній атмосфері в ІН до досягнення кубічної фази. В цьому ж інституті проводилося вимірювання відбиваючої здатності, яка пояснює процес кристалізації. Результати цього вимірювання представлено на рис. 2.

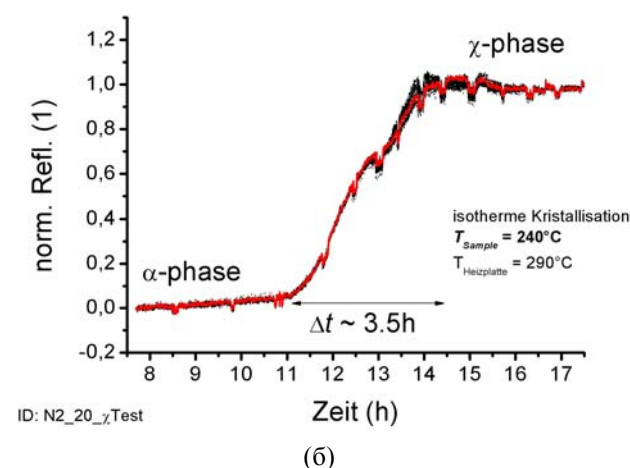
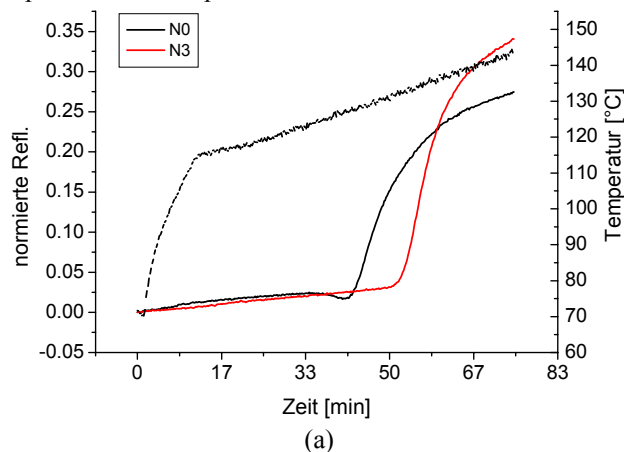


Рис. 2. Залежність відбиваючої здатності від часу кристалізації плівок NGST для різного вмісту азоту: (а) – N 0%, N 3%, (б) – N 20%.

З рис. 2 видно, що вміст азоту у плівках GST сповільнює перехід з аморфної в кристалічну структуру. Так для нелегованих плівок GST перехід починається через 42 хв., для легованих GST при

$N=3\%$ – через 55 хв., а при $N=20\%$ – аж через 11 год. Отже, звідси слідує, що зростання вмісту азоту у плівках GST призводить до підвищення температури кристалізації і збільшення часу до початку кристалізації (рис. 2), а також до зростання інтервалу часу перекристалізації Δt (рис. 2(б)).

Структура аморфних і відпалених GST і NGST плівок визначалася за допомогою методу X-променевої дифракції XRD (X-ray diffraction) з площинним детектором GADDS. На рисунку 3 зображено 7 різних кривих для аморфних зразків, а на рис. 4-5 кривих для кристалічних структур з різним вмістом азоту. Зразки з 50% і 100% вмістом азоту під час відпалу були знищені, тому на рис. 4 їх немає.

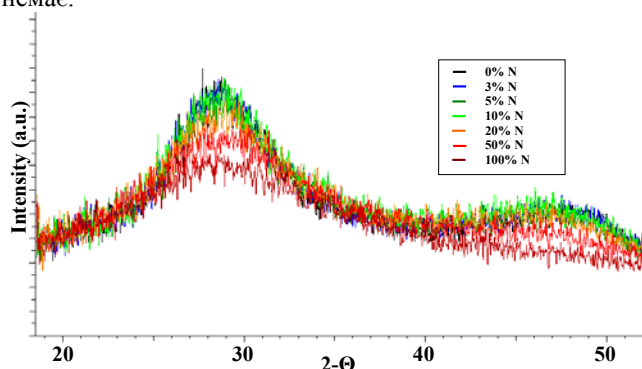


Рис. 3. XRD спектри для аморфних плівок NGST з різним вмістом азоту.

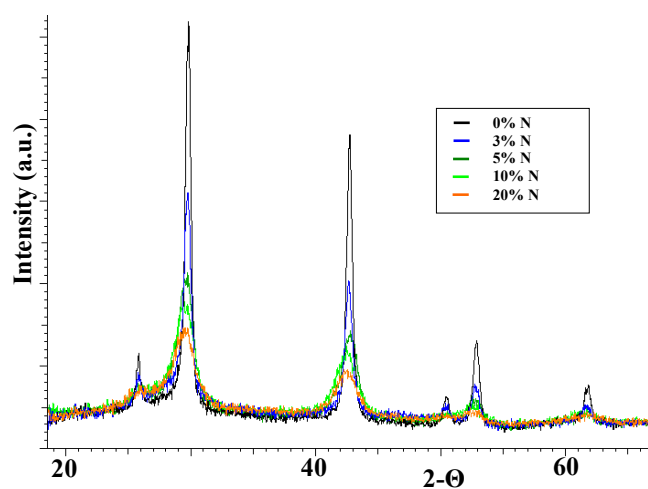


Рис. 4. XRD спектри для відпалених кристалічних плівок NGST з різним вмістом азоту.

З рис. 3 і 4 видно, що висота піків зменшується при збільшенні вмісту азоту у сполуці. Для аморфних зразків можна зробити таке припущення, що зростання вмісту азоту у сполуці NGST призводить до порушення ближнього порядку, так званої кільцевої структури (рис. 5) [10].

Таку ж поведінку піків, тобто зменшення їх висоти при збільшенні вмісту азоту у сполуці (рис. 4), для кристалічної структури можна пояснити зменшенням розмірів кристалів. Цей ефект не залежить від тривалості відпалу, тобто атоми азоту

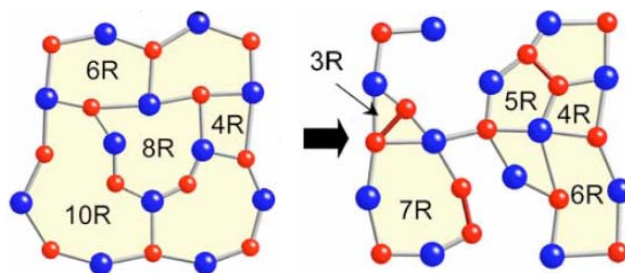


Рис. 5. Схематичне представлення порушення ближнього порядку (кільцевої структури) у аморфних плівках NGST.

будуть стримувати ріст кристалів. Для перевірки було порівняно XRD спектри зразків, виготовлених в 20% N-атмосфері і відпалених протягом 5 і 10 годин відповідно, при температурі від 130°C до 300°C. Отримані піки були ідентичними.

На рис. 6 можна побачити порівняння аморфної і кристалічної структури. При подальшому підвищенні температури GST плівки перетворюються з кубічної в гексагональну кристалічну структуру (рис. 7). Перехід відбувається приблизно при 240°C

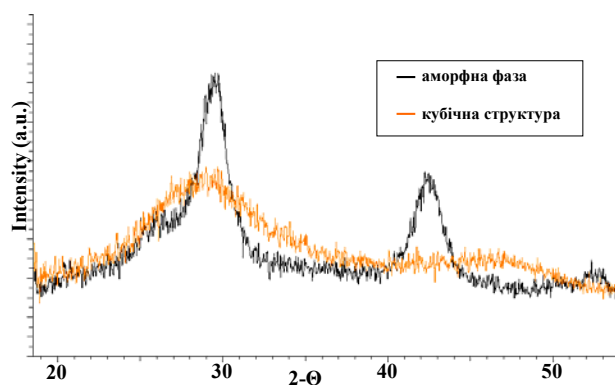


Рис. 6. Порівняння XRD спектрів для аморфної і кубічної структури NGST плівок з 20% вмістом N.

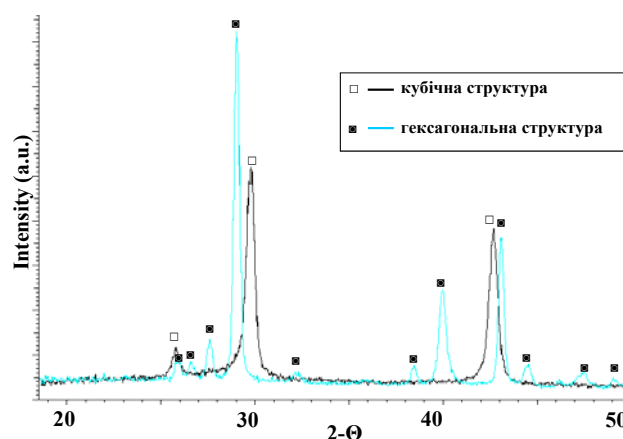


Рис. 7. Порівняння XRD спектрів для кубічної і гексагональної кристалічної структури GST плівок.

За допомогою програми VASP проведено теоретичний розрахунок енергії утворення зв'язків у сполуці NGST [11]. Було пораховано і проаналізовано енергію утворення ($E_{утв.}$) для 10

різних можливих конфігурацій знаходження атома азоту у кубічній кристалічній структурі (табл. 2). Дана структура описувалася ідеальною гексагональною коміркою, схема якої показана на рис. 8.

Таблиця 2
Розрахунок енергії утворення ($E_{\text{утв.}}$) для 10 різних конфігурацій знаходження атома азоту у ідеальній комірни GST, яка налічує 27 атомів.

Позиція	$E_{\text{зв.}}$ eV	Кількість атомів у комірни				$E_{\text{утв.}}$ eV/ат.
		Ge	Sb	Te	N	
GST ₂₂₅	-102,44	6	6	15	–	-0,1110
NзамGe5	-102,50	5	6	15	1	0,0281
NзамSb10	-102,85	6	5	15	1	0,0282
NзамTe15	-104,08	6	6	14	1	0,0197
NзамTe19	-103,84	6	6	14	1	0,0286
NзамTe25	-104,40	6	6	14	1	0,0079
Nвак20-25	-106,35	6	6	15	1	0,0507
Нокт19-5	-107,54	6	6	15	1	0,0083
Нокт5-15	-107,12	6	6	15	1	0,0232
Нокт15-10	-106,55	6	6	15	1	0,0435
Нокт10-25	-106,98	6	6	15	1	0,0282

Енергія утворення для нелегованих плівок GST₂₂₅ складає $-0,111$ eV/ат., тому сполука GST₂₂₅ є стійкою. А сполука NGST є нестійкою і її енергія утворення є додатною (табл. 2). Проаналізувавши дані з таблиці 2 можна сказати, що найбільш ймовірними позиціями для атома азоту у кубічній кристалічній структурі GST є (рис. 8):

– заміщення ним атомів Te між Ge і Te, з енергією утворення 0,0079 eV/ат.;

– вкорінення в октаедричні порожнини між Ge і Te, з енергією утворення 0,0083 eV/ат.

Інші ж позиції для утворення стійкої сполуки NGST є енергетично не вигідними. Енергія їх утворення є великою і коливається від 0,02 до 0,05 eV/ат. (табл. 2).

Висновки

В результаті проведення експериментальних досліджень та теоретичних розрахунків було вивчено

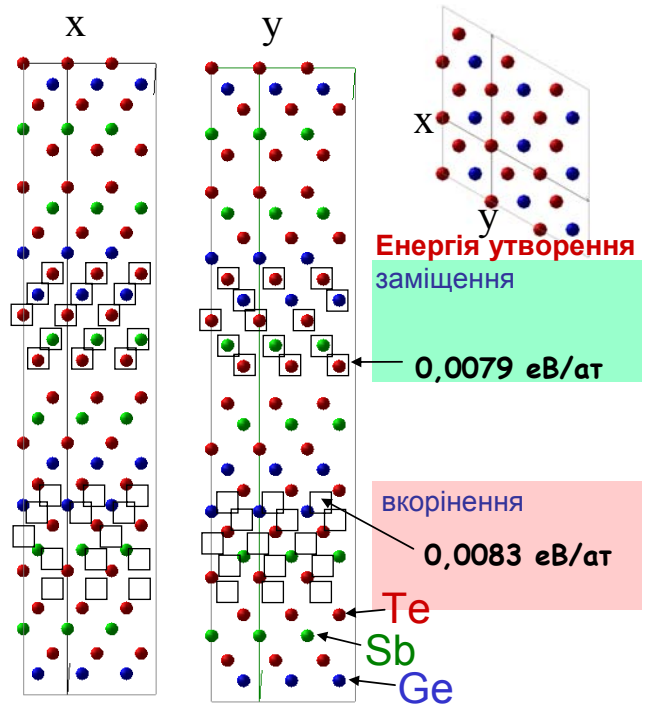


Рис. 8. Схема ідеальної гексагональної комірки, яка описує кубічну кристалічну структуру у сполуці NGST.

будову, структуру, зв'язок та умови фазового переходу легованих азотом тонких плівок GST₂₂₅.

З експерименту було встановлено, що азот в аморфних плівках NGST є легколетучим компонентом і тому ці плівки дуже швидко окислюються на повітрі. Зростання вмісту азоту у сполуці NGST призводить до підвищення температури кристалізації і збільшення часу до початку кристалізації, а також до порушення близького порядку (кільцевої структури) у аморфних плівках і до подрібнення зерен у кристалічних плівках, яке не залежить від тривалості відпалу.

На основі теоретичного розрахунку енергії утворення було встановлено, що плівки NGST є нестійкими, а атоми азоту у кубічній ґратці GST можуть заміщати атоми Te між Ge і Te або вкорінюватися в октаедричні порожнини між Ge і Te.

Михайльонка Р.Я. – науковий співробітник кафедри,
Кьольпін Г. – аспірант кафедри.

- [1] M. Chen, K.A. Rubin, and R.W. Barton // *Appl. Phys. Lett.*, **49**, p. 502 (1986).
- [2] V. Weidenhof, I. Fridrich, S. Zeigler, and W. Wuttig // *J. Appl. Phys.*, **89**, p. 3168 (2001).
- [3] A.V. Kolobov, P. Fonf, A.I. Frenkel, A.L. Ankudinov, J. Tominga, and T. Uruga // *Nat. Mater.*, **3**, p. 703 (2004).
- [4] J. Siegel, A. Schropp, J. Solis, C.N. Afonso, and W. Wuttig // *Appl. Phys. Lett.*, **84**, p. 2250 (2004).
- [5] YoungKuk Kim, K. Jeong, M.-H. Cho, Uk Hwang, H.S. Jeong, and K. Kim // *Appl. Phys. Lett.*, **90**, p. 171920 (2007).
- [6] Tae Hee Jeong, Myong R. Kim, Hun Seo, Jeong Woo Park, and Cheng Yeon // *Jpn. J. Appl. Phys.*, Part 1 **39**, p. 2775 (2000).
- [7] YoungKuk Kim, S. A. Park, J. H. Baeck, M. K. Noh, K. Jeong, M.-H. Cho, H. M. Park, M. K. Lee, E. J. Jeong, D.-H. Ko, and H. J. Shin // *J. Vac. Sci. Technol. A* **24**, p. 929 (2006).

- [8] P. Hohenberg, W. Kohn // *Phys. Rev.* **136**, p. B864 (1964).
- [9] P.E. Blöchl // *Phys. Rev.*, B **50**, p. 17953 (1994).
- [10] S. Kohara, K. Kato, S. Kimura, H. Tanaka, T. Usuki, K. Suzuya, H. Tanaka et al. // *Appl. Phys. Lett.*, **89**, p. 201910 (2006).
- [11] Zhimei Sun, Stepan Kyrsta, Denis Music, Rajeev Ahuja, Jochen M.Schneider // *Solid State Communications*, **143**, p. 240 (2007).

R.Ya. Mykhaylonka, H. Kölpin

Composition, Structure, Bonding, and Phase Transition in Nitrogen-Doped Ge₂Sb₂Te₅ Thin Films

*Materials Chemistry, RWTH Aachen University, Kopernikusstr. 16, D-52074 Aachen, Germany,
E-mail: mix_ruslan@mail.ru*

Using theoretical and experimental means in this work has been agreed, nitrogen-doped Ge₂Sb₂Te₅ thin films (henceforth NGST) quickly oxidize in air. Increase the N content in NGST-bonding relates to increasing a crystallization temperature, and a time to beginning of a crystallization, and infringement of the short-range order in amorphous films and grain size refinement in crystalline films which does not depend on duration of annealing. NGST thin films are metastable, and N atoms in cubic lattice may substitutional sites of Te atoms between Ge and Te or occupy interstitial sites between Ge and Te.